



نشریه مهندسی عمران امیرکبیر

نشریه مهندسی عمران امیرکبیر، دوره ۳ شماره ۴، سال ۱۴۰۰، صفحات ۱۴۲۵ تا ۱۴۴۲
DOI: 10.22060/ceej.2019.16954.6404

بررسی تأثیر الیاف ترکیبی فولادی موج دار - قلاب دار و پلی پروپیلن اصلاح شده بر رفتار برشی تیرهای بتن آرمه با استفاده از نتایج آزمایشگاهی و روابط تجربی

شهرام مقصودیان^۱، فرشید جندقی علایی^۲، مهدی نعمتزاده^{*۳}

۱- پردیس دانشگاه صنعتی شهرورد، ایران

۲- دانشگاه صنعتی شهرورد، شهرورد، ایران

۳- دانشگاه مازندران، بابلسر، ایران

خلاصه: یکی از مودهای گسیختگی نامطلوب در تیرهای بتن مسلح ایجاد مود خرابی برشی بدون عالیم اخطاردهنده قبل از رخداد گسیختگی خمشی است. یکی از روش‌های جلوگیری از آن در سطح کم نیروهای برشی تامین خاموت حداقل است. از راهکارهای جایگزین برای تامین خاموت حداقل به دلیل مشکلات اجرایی آن در بعضی مواقع استفاده از الیاف می‌باشد. این تحقیق به بررسی تأثیر ترکیب الیاف فولادی موج دار با قلاب انتهایی و پلی پروپیلن اصلاح شده بر رفتار برشی تیرهای بتن آرمه با مقاومت معمولی پرداخته است. نتایج به دست آمده با رفتار برشی مقطع مسلح شده به آرماتور برشی حداقل در شرایط مشابه مقایسه شده و امکان جایگزینی آن با الیاف فوق، بر اساس دستورالعمل ACI318-2011 و شرایط پذیرش الیاف فوق مبتنی بر ASTMC1609 مورد ارزیابی قرار گرفته است. بدین منظور ۱۶ تیر بتن آرمه با مقایس و نسبت دهانه برش به ارتفاع مؤثر برابر ۲/۶ در سه گروه ساخته شد. چهار نمونه اول فاقد الیاف و خاموت برشی بوده، چهار نمونه دوم فاقد الیاف و مسلح به خاموت برشی حداقل بوده و هشت نمونه دیگر بدون خاموت برشی با بتن الیافی ترکیبی با نسبت ۷۵٪ / ۰٪ الیاف فولادی (موج دار با قلاب انتهایی) و ۰٪ / ۲۵٪ الیاف پلی پروپیلن و همچنین ۱٪ الیاف فولادی و ۰٪ / ۲۵٪ الیاف پلی پروپیلن می‌باشد. در ادامه تأثیر آرماتور طولی با درصدهای ۲/۵ و ۴٪ بر رفتار برشی تیرها مورد بررسی قرار گرفت. بعد از اعمال بارگذاری چهار نقطه‌ای تیرهای فوق با ترکیب الیاف فوق مشاهده شد الیاف فوق می‌تواند جایگزین مناسبی برای آرماتور برشی حداقل باشد. در انتها، با استفاده از نتایج آزمایشگاهی این تحقیق، رابطه‌ای برای پیش‌بینی مقاومت برشی بتن مسلح به الیاف پیشنهاد شد که از دقت مناسبی برخوردار است.

تاریخچه داوری:

دریافت: ۱۳۹۸/۰۶/۰۱

بازنگری: ۱۳۹۸/۰۹/۱۱

پذیرش: ۱۳۹۸/۰۹/۱۹

رائه آنلاین: ۱۳۹۸/۱۰/۰۴

كلمات کلیدی:

بتن الیافی

الیاف فولادی موج دار

مقاومت برشی

الیاف ترکیبی

آرماتور برشی حداقل

۱- مقدمه

استفاده از بتن‌های معمولی به دلیل هزینه پایین و در دسترس بودن مصالح آن بسیار رایج می‌باشد. در مقابل آن معایی نظری مقاومت کششی پایین و ظرفیت کرنشی کم که منجر به ضعف آن در برابر بازشدن و توسعه ترک می‌شود در آن‌ها مشاهده می‌شود [۱-۴]. اضافه نمودن الیاف در مخلوط بتن که به صورت یکنواخت در ماتریس‌های سیمانی پخش می‌شوند، رشد و توسعه ریزترک‌ها را کاهش داده و همچنین چقرمگی، شکل‌پذیری و مقاومت کششی بعد از ترک خوردنگی مقاطع را افزایش می‌دهند [۵-۷].

تأثیر مقاومتی الیاف در ماتریس‌های بتنی بوسیله عمل پل زدن الیاف در سطوح ترک مشاهده می‌شود. مکانیزم خرابی متداول الیاف در ماتریس‌های بتنی به صورت بیرون کشیده شدن الیاف، گسیختگی

* نویسنده عهده‌دار مکاتبات: m.nematzadeh@umz.ac.ir



حقوق ملکیتی به نویسنده‌گان و حقوق ناشر به انتشارات دانشگاه امیرکبیر داده شده است. این مقاله تحت لیسانس آفرینندگی مردمی (Creative Commons License) در دسترس شما قرار گرفته است. برای جزئیات این لیسانس، از آدرس <https://www.creativecommons.org/licenses/by-nc/4.0/legalcode> دیدن فرمائید.

مقاومت فشاری بتن، b عرض مقطع، d ارتفاع مؤثر مقطع و V_c نیروی برشی مقاوم مقطع تیر در سیستم SI می‌باشد.

رابطه‌ی مذکور بر اساس نتایج تجربی بدست آمده برای نمونه‌هایی با ارتفاع مؤثر مقطع بین ۲۵۴ تا ۳۷۵ mm می‌باشد. سایر محققان آزمایش‌هایی بر روی نمونه‌هایی با ارتفاع بزرگ‌تر انجام دادند که از نتایج آن‌ها می‌توان دریافت که با افزایش ارتفاع مقطع، ظرفیت برشی مقطع کاهش پیدا می‌کند. در نتیجه رابطه فوق برای محاسبه ظرفیت برشی مقاطع با ارتفاع زیاد قابل قبول نمی‌باشد.

شیوه‌ی و همکاران با انجام تست‌هایی بر روی نمونه‌هایی با $d > 50.8\text{mm}$ مقدار ظرفیت برشی را کمتر از مقدار پیش‌بینی شده توسط ACI318 مشاهده نمودند. به عنوان مثال برای مقطع با $d = 99.1\text{mm}$ و ماکریم بعد سنگدانه $mm^{10} \times mm^{25}$ ظرفیت برشی مقطع به ترتیب ۴۸% و ۵۸% مقاومت برشی ارائه شده توسط آیین‌نامه ACI318 اندازه‌گیری شد [۲۱]. با توجه به دلایل ذکر شده، آیین‌نامه ۲۰۱۱–ACI318 [۲۰] برای جلوگیری از شکست ترد برشی و عدم قطعیت رابطه ارائه شده برای محاسبه ظرفیت برشی، طراحی آرماتور برشی حداقل را برای فوایدی از تیر که در آن $\varphi V_c < V_u / 2 < f'_c V_c$ می‌باشد را ضروری می‌داند. بر اساس این آیین‌نامه استفاده از الیاف فولادی با درصد حجمی بیش از ۷۵% حجمی به شرطی که الزامات مقاومت خمی را بر اساس دستورالعمل ASTMC1609 [۲۲] رعایت نماید می‌تواند جایگزین خاموت برشی حداقل شود. به منظور ارزیابی این موضوع، پارامونت‌سینس [۲۳] مقاومت برشی بیش از ۱۴۷ نمونه تیر بتن الیافی با $18.0\text{mm} \leq d \leq 75.0\text{mm}$ و نسبت دهانه برشی $a/d < 1 < 6$ مقاومت فشاری بتن بین $f'_c < f'_c / 8\text{MPa} < 17 / 8\text{MPa}$ را مورد بررسی قرار داد و مشاهده نمود می‌توان از الیاف فولادی در نواحی که $\varphi V_c < V_u / 2 < f'_c V_c$ به عنوان جایگزین خاموت برشی حداقل استفاده شود. همچنین مشاهده کرد با اضافه نمودن ۷۵% حجم الیاف فولادی، مقاومت برشی به طور محافظه‌کارانه بیشتر از $\sqrt[3]{f'_c}$ خواهد بود که تقریباً دو برابر مقدار مقاومت برشی بتن پیشنهادی توسط ACI318 است. یو و همکاران [۲۴] با انجام تست‌هایی بر روی شش نمونه تیر با مقیاس $\frac{1}{4}$ و نسبت دهانه برشی به ارتفاع

الیاف، درصد آرماتور طولی، مقاومت کششی الیاف و مقاومت فشاری بتن دارد [۷].

اضافه نمودن مقدار کافی الیاف فولادی به تیرهای بتنی باعث می‌شود تا شکست ترد برشی تبدیل به رفتار شکل‌پذیر گردد. افزایش ظرفیت برشی و شکل‌پذیری تیرهای بتنی حاوی الیاف فولادی به علت تحمل مقاومت کششی بعد از ترک‌خوردگی می‌باشد. همچنین، این افزایش مقاومت باعث کاهش اندازه ترک‌ها و فاصله ترک‌ها می‌شوند. اساساً استفاده از الیاف فولادی برای بتن‌های با مقاومت بالا که رفتار ترد دارند مناسب بوده و حتی می‌تواند استفاده از خاموت‌های عرضی را محدود نماید [۱۴, ۱۳]. استفاده از الیاف فولادی با درصد حجمی بالا در مخلوطهای بتنی می‌تواند سبب کاهش کارایی و افزایش هزینه شود و همچنین می‌تواند باعث ایجاد فضای خالی در بتن در حین بتن‌ریزی در قالب به دلیل پایین بودن اسلامپ شود. ولی استفاده از الیاف فولادی و الیاف پلی‌پروپیلن به طور همزمان سبب بهبود خواص بتن تازه نظیر کاهش ترک‌های اولیه برای بتن تازه ریخته شده در قالب و همچنین بهبود خواص بتن سخت شده نظیر مقاومت فشاری، شکل‌پذیری و چرمگی با هزینه پایین خواهد شد [۱۲, ۷].

استفاده از الیاف با مدلول الاستیسیته پایین و بالا از توسعه میکرو و ماکرو ترک‌ها جلوگیری خواهد نمود. اضافه نمودن همزمان الیاف فولادی و پلی‌پروپیلن به بتن، مقاومت کششی [۱۵]، مقاومت خمی و چرمگی اعضاء بتنی را به دلیل جلوگیری از توسعه ترک، در مقایسه با اضافه نمودن فقط یک نوع از الیاف‌ها افزایش می‌دهد [۱۰, ۱۶-۱۸].

در این خصوص، اگر به میزان ۱۱٪ حجمی الیاف فولادی و الیاف پلی‌پروپیلن به مقاطع خمی بتن الیافی اضافه شود می‌توان شاهد کرنش سخت‌شوندگی مناسبی بعد از جاری شدن آرماتور اصلی بود [۱۹].

با مطالعه ۲۰۱۱–ACI318 تحقیقات موجود می‌توان دریافت که مطالعات چندانی بر روی رفتار برشی اعضای بتنی حاوی الیاف ترکیبی در دسترس نمی‌باشد. در نتیجه نیاز به مطالعات بیشتری در خصوص تاثیر درصد حجمی الیاف فولادی و پلی‌پروپیلن بر روی مقاومت برشی تیرهای بتنی مسلح می‌باشد. مدل ارائه شده توسط [۲۰] برای محاسبه مقاومت برشی تیرهای بتن معمولی (فائد الیاف) بدون خاموت برشی به صورت $V_c' = 0.167\sqrt{f'_c bd}$ می‌باشد که

1 Parra-Montesinos

2 Yoo et al.



شکل ۱. شکل ظاهری الیاف فولادی موج دار با قلاب انتهایی و الیاف پلیپروپیلن اصلاح شده

Fig. 1. Shape of hooked-end steel fibers and modified polypropylene fibers

با نسبت آرماتورهای طولی مختلف، درصد الیاف فولادی متفاوت و مقدار ثابت الیاف پلیمری ساخته شده و تحت بارگذاری استاتیکی یکنواخت قرار گرفته است. نتایج آزمایشگاهی تیرهای بتن مسلح حاوی الیاف (فاقد خاموت) با تیرهای بتن معمولی دارای خاموت برشی حداقل (فاقد الیاف) و نیز با تیرهای بتن معمولی فاقد الیاف و خاموت برشی مقایسه شده‌اند. در نهایت، هدف اصلی از این مطالعه: (۱) ارزیابی خواص مکانیکی بتن الیافی با استفاده از الیاف ترکیبی.

(۲) ارزیابی مقاومت برشی، مکانیزم خرابی و همچنین شکل پذیری تیرهای بتن مسلح حاوی الیاف ترکیبی.
 (۳) کنترل نمودن امکان جایگزینی الیاف ترکیبی با خاموت برشی حداقل بر اساس آیین‌نامه ACI318

۲- برنامه آزمایشگاهی ۱- مواد و طرح اختلال

در این مطالعه از سیمان پرتلند نوع ۲ کارخانه فراز فیروزکوه استفاده گردید. همچنین از مصالح سنگی ریزدانه با مدول نرمی ۲/۸ mm و چگالی ۲/۶۱ و جذب آب ۱/۷٪ و حداقل اندازه مصالح سنگی ۴/۷۵ مورد استفاده قرار گرفت. لازم به توضیح می‌باشد ارزش ماسه‌ای ASTMD2419 مصالح ریزدانه مورد استفاده مطابق با استاندارد [۲۷] برابر با ۹۱/۳٪ محاسبه شد. ضمناً از مصالح سنگی درشت‌دانه

۳/۲ که سه نمونه آن بتن الیافی فولادی و سه نمونه آن بر اساس ACI318 مسلح به خاموت برشی حداقل بودند و بتن آن نیز مقاومت بالا بود، مشاهده نمودند که با افزایش ارتفاع مقطع از ۱۸۱ به ۸۸۷ میلی‌متر مقدار مقاومت برشی در حالت استفاده از بتن الیافی حدود ۱۲۹ درصد کاهش یافته است. دین و همکاران^۱ [۲۵] بیان نمودند می‌توان ۷۵٪ الیاف فولادی را با اطمینان مناسب جایگزین خاموت برشی حداقل نمود و مقاومت برشی حداقل برابر $f'_c = ۰.۳\sqrt{f'_c}$ خواهد بود. همچنین دین و همکاران و آؤد و همکاران^۲ [۲۶، ۲۵] مشاهده نمودند با استفاده از درصد حجمی الیاف فولادی بیشتر از ۱۰٪ می‌توان مود خرابی را از حالت برشی به خمی تغییر داد.

بنابراین، در این تحقیق به منظور دسترسی به ظرفیت و رفتار برشی تیر بتن مسلح حاوی الیاف ترکیبی فولادی و پلیپروپیلن، یک برنامه آزمایشگاهی تنظیم شده‌است که در آن ۱۶ تیر با مقیاس $\frac{1}{2}$

جدول ۱. مشخصات الیاف مصرفي

Table 1. Characteristics of fibers

الیاف فولادی	
نام	الیاف فولادی موجود با قلاب انتهایی
مقاومت کششی (MPa)	۱۱۰>
انبساط طولی (%)	۳<
طول (mm)	۵۰
نسبت طول به ضخامت	۶۲/۵
استاندارد	ASTM A820, EN14889-1

الیاف پلیمری	
نام	پلیپروپیلن اصلاح شده
طول (mm)	۳۸-۵۴
مقاومت کششی (MPa)	۴۵۰-۸۰۰
مدول الاستیسیته (MPa)	۳۵۰۰-۷۰۰۰
نقطه ذوب (°C)	$\geq ۱۶۰-۱۷۰$

1 Dinh et al.

2 Aoude et al.

جدول ۲. طرح اختلاط بتن
Table 2. Mix proportions of concrete

شماره طرح	مشخصه طرح	درصد حجمی الیاف فولادی پلیمری	نسبت آب به سیمان	آب	سیمان	ماسه	شن	درصد فوق روان‌کننده مصرفی (درصد وزن سیمان)
۱	بتن معمولی	-	-	۰/۴۳۷	۵۰/۲	۱۰۰/۷/۱	۶۷۱/۳۰	۰/۲
۲	بتن الیافی	۰/۲۵	۰/۷۵	۰/۴۳۷	۵۰/۲	۱۰۰/۷/۱	۶۷۱/۳۰	۰/۵۵
۳	بتن الیافی	۰/۲۵	۱/۰	۰/۴۳۷	۵۰/۲	۱۰۰/۷/۱	۶۷۱/۳۰	۰/۶

بر اساس *ASTMC39* [۲۸] انجام شد. برای صحت نتایج از هر طرح سه نمونه استوانه‌ای به قطر mm ۱۵۰ و ارتفاع mm ۳۰۰ ساخته شد و سرعت بارگذاری نمونه‌ها S / 4KN / 4 انتخاب شد.

اندازه‌گیری مقاومت خمی برای نمونه بتن الیافی با استفاده از آزمایش چهار نقطه‌ای بر روی نمونه‌های تیر خمی با توجه به دستورالعمل *ASTMC1609* [۲۲] انجام شد. با توجه به این دستورالعمل و طول الیاف مصرفی برای هر طرح اختلاط سه نمونه تیر بتی به ابعاد ۱۵۰×۵۰۰mm آماده شد. پس از چیدمان وسایل آزمایش، نمونه‌ها تحت بارگذاری به روش کنترل تغییر مکان با نرخ ثابت ۰/۱mm / min تا رسیدن تغییر مکان وسط دهانه به میزان $\frac{1}{15}$ طول دهانه، تحت بارگذاری قرار گرفتند. مطابق استاندارد ASTM به منظور کاهش اثرات راستای بتن‌ریزی، نمونه حول محور طولی ۹۰ درجه چرخانده شده و سپس روی تکیه‌گاه قرار گرفت. برای اندازه‌گیری تغییر مکان وسط دهانه دو تغییر مکان‌سنج که در طرفین تیر در قسمت میانی طول دهانه نصب شده بود، داده‌های خروجی را به دستگاه مرکزی ثبت داده‌ها^۳ منتقل کرد.

باید توجه داشت که براساس استاندارد *ACI318-2011* [۲۰] اگر کسر حجمی الیاف فولادی بیش از ۷۵% باشد و علاوه بر آن بر اساس دستورالعمل آزمایش *ASTMC1609* [۲۲] اگر مقاومت خمی نمونه به ازای خیز برابر با $\frac{1}{300}$ طول دهانه بیشتر از ۹۰% مقاومت در لحظه اولین ترک و مقاومت خمی نمونه به ازای خیز برابر با $\frac{1}{150}$ طول دهانه بیشتر از ۷۵% مقاومت در لحظه اولین ترک باشد، در چنین حالتی می‌توان این کسر حجمی الیاف فولادی را جایگزین آرماتور برشی حداقل در تیرهای بتی نمود.

با چگالی ۲/۶۷ و حداقل اندازه اسمی ۱۲/۵ mm استفاده گردید. الیاف مورد استفاده در این تحقیق محصول گروه تولیدی مفتول عرفان می‌باشد که هم فرم موج‌دار و هم فرم قلاب انتهایی در یک نمونه الیاف طراحی شد تا از هر دو حالت ظرفیت قلاب‌دار و موج‌دار بودن بتوان استفاده نمود. همچنین برای جلوگیری از به وجود آمدن ریزترک‌ها در مراحل اولیه بارگذاری، تغییر رطوبت، تغییرات درجه حرارت از الیاف پلی‌پروپیلن اصلاح شده به صورت ترکیب با الیاف فولادی استفاده شد. شکل هندسی و خواص الیاف‌ها به ترتیب در شکل ۱ و جدول ۱ ارائه شده‌است.

در این تحقیق از فوق روان‌کننده محصول شرکت همگرایان تولید (CAPCO) بر پایه پلی‌کربوکسیلات اتر^۱ با نام تجاری SPC10 با چگالی ۰/۹ gr/cm³ در مخلوط‌های بتن به صورت درصد وزنی از کل مواد سیمانی مورد استفاده قرار گرفت.

با توجه به استاندارد ۲۰۱۱-۲۰۱۸ [۲۰] که بیان می‌کند اگر درصد حجم الیاف فولادی بیش از ۷۵% حجم بتن باشد با رعایت ضوابط مربوطه می‌تواند مقاومت برشی در تیرهای بتی از خود بروز دهد، در این تحقیق، الیاف فولادی در دو کسر حجمی ۷۵% و ۱۰% به کار برده شد. مشخصات طرح اختلاط تیرها مطابق جدول ۲ می‌باشد.

۱-۲- آزمایشات مشخصات مکانیکی بتن الیافی مصرفی

به منظور ارزیابی خواص مکانیکی بتن معمولی و الیافی، نمونه‌های استوانه‌ای و تیر خمی مورد آزمایش و بررسی قرار گرفت. پارامترهای اصلی که مورد ارزیابی قرار گرفت مقاومت فشاری نمونه‌های استوانه‌ای و مقاومت خمی نمونه‌های تیر بتی بود. آزمایش مقاومت فشاری نمونه‌های بتن معمولی و بتن الیافی پس از ۲۸ روز مراقبت و نگهداری

در ظرفیت باربری مشاهده شود تحت بارگذاری قرار گرفتند.

۱-۳-چیدمان آزمایش تیرهای بتن مسلح

شکل ۲ وضعیت بارگذاری خمشی و چیدمان آزمایش را نمایش می‌دهد. تیرهای ساخته شده با مقیاس $\frac{1}{4}$ به روش بارگذاری چهار نقطه‌ای مورد آزمایش قرار گرفتند و بار متمرکز به طور یکنواخت در نقاط $\frac{1}{3}$ دهانه به تیر بتنی از طریق تیر فولادی مرکب I شکل منتقل شد. در ابتدا و انتهای تیر از پین‌های فولادی به فاصله ۱۰۰ cm از انتهایها به عنوان تکیه‌گاه استفاده شد. از یک جک بتن‌شکن ۱۰۰ تنی برای اعمال بارگذاری یکنواخت استفاده گردید. یک لودسل به منظور اندازه‌گیری مقدار نیرو و سه عدد جابجایی سنج (LVDT) ثبت تغییر مکان وسط دهانه و دو تکیه‌گاه تیر استفاده شد. جهت سرعت بارگذاری وارد بر تیر به میزان $6mm/min$ انتخاب شد. نمونه‌ها تا مرحله خرابی به صورتی که یک کاهش چشمگیر گردید.

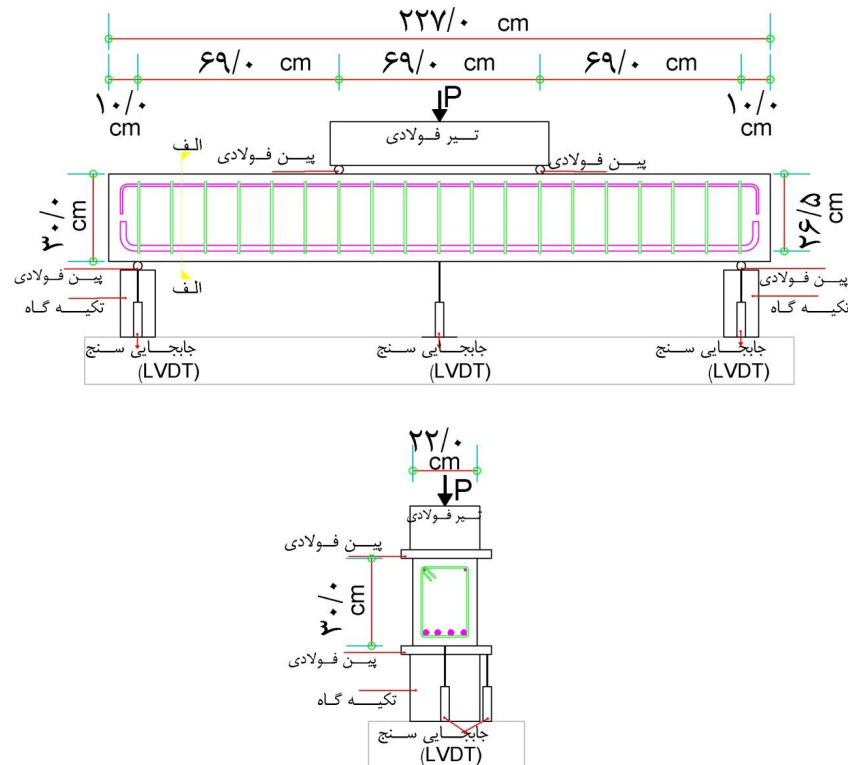
جدول ۳. مشخصات تیرهای بتنی
Table 3. Specifications of concrete beams

خاموت برشی	درصد الیاف	درصد آرماتور طولی	شماره تیر	گروه تیر
-	-	۲/۵	A _{۱-۱}	
-	-	۲/۵	A _{۱-۲}	
-	-	۴	A _{۲-۱}	گروه A
-	-	۴	A _{۲-۲}	
خاموت حداقل	-	۲/۵	B _{۱-۱}	
خاموت حداقل	-	۲/۵	B _{۱-۲}	
خاموت حداقل	-	۴	B _{۲-۱}	گروه B
خاموت حداقل	-	۴	B _{۲-۲}	
-	الیاف فولادی ۰/۷۵٪ +الیاف پلیمری ۰/۲۵٪	۲/۵	C _{۱-۱}	
-	الیاف فولادی ۰/۷۵٪ +الیاف پلیمری ۰/۲۵٪	۲/۵	C _{۱-۲}	
-	الیاف فولادی ۰/۷۵٪ +الیاف پلیمری ۰/۲۵٪	۴	C _{۲-۱}	
-	الیاف فولادی ۰/۷۵٪ +الیاف پلیمری ۰/۲۵٪	۴	C _{۲-۲}	گروه C
-	الیاف فولادی ۱٪ +الیاف پلیمری ۰/۲۵٪	۲/۵	C _{۳-۱}	
-	الیاف فولادی ۱٪ +الیاف پلیمری ۰/۲۵٪	۲/۵	C _{۳-۲}	
-	الیاف فولادی ۱٪ +الیاف پلیمری ۰/۲۵٪	۴	C _{۴-۱}	
-	الیاف فولادی ۱٪ +الیاف پلیمری ۰/۲۵٪	۴	C _{۴-۲}	

گروه A = تیرهای بدون خاموت برشی و الیاف گروه B = تیرهای دارای خاموت حداقل گروه C = تیرهای فقط دارای الیاف



(الف)



شکل ۲. (الف) چیدمان اجرایی تست تیرها (ب) چیدمان شماتیک تست
Fig. 2. (a) Test setup of Beams (b) Schematic overview of test setup

با 8 mm عرض و $F_u = 490 \text{ MPa}$ و $F_y = 310 \text{ MPa}$ مربوط به خاموت میلگرد
برشی در تیرهای موردنظر در این مطالعات استفاده گردید. مقدار
خاموت حداقل برشی با توجه به استاندارد $ACI318-2011$
[۲۰] به صورت $A_{v,min} = \frac{1}{16} \sqrt{f'_c} \frac{b_{w,s}}{f_y}$ (در واحد SI) میباشد که نباید از
مقادیر $A_{v,min} = \frac{b_{w,s}}{2f_y}$ کمتر باشد، که در آن $A_{v,min}$ مقدار مساحت حداقل
خاموت برشی، s فاصله بین خاموت‌ها و f'_c تنفس تسلیم خاموت
صرفی میباشد. همچنین باید توجه داشت که به دلیل اینکه هر
ترک در راستای 45° درجه بتواند یک خاموت برشی را قطع کند،
فاصله بین خاموت‌ها باید نصف ارتفاع موثر باشد یا 600 mm ، هر کدام
که کمتر است، انتخاب گردد. علاوه بر این، خاموت برشی حداقل را

مربوط به حالتی میباشد که از بتن معمولی به همراه خاموت برشی
حداقل تهیه شده و گروه C مربوط به حالتی میباشد که از بتن الیافی
و بدون خاموت تهیه شده است. لازم به توضیح میباشد برای کنترل
صحت نتایج از هر تیر دو عدد نمونه مشابه ساخته شد.

مطابق جدول ۳، آرماتور طولی در دو مقدار $2/5$ و 4% نسبت
دهانه برش به ارتفاع مؤثر $\left(\frac{a}{d}\right)$ برابر با $2/6$ و الیاف ترکیبی در دو
حالت $1\%/\text{الیاف فولادی}$ به همراه $0.25\%/\text{الیاف پلیمری}$ و نیز
 $0.75\%/\text{الیاف فولادی}$ به همراه $0.25\%/\text{الیاف پلیمری}$ انتخاب شدند.
از آرماتور طولی با قطر 22 mm کارخانه کویر یزد با $F_y = 540 \text{ MPa}$
و $F_u = 680 \text{ MPa}$ به عنوان میلگرد طولی و خاموت عرضی با قطر

جدول ۴. نتایج مقاومت فشاری و خمشی

Table 4. Results of compressive and flexural strength

نام نمونه‌ها	درصد الیاف	نام الیاف	f'_c (N/mm ²)	First peak (kN)	P_{300}^D (kN)	P_{150}^D (kN)	$f_l = \frac{P_L}{bd^2}$ (N/mm ²)	ϕp_{peak}	$\phi / \sqrt{p_{peak}}$	شرایط پذیرش
F _۱	بتن معمولی		۳۴/۹	۳۹	-	-	۵/۲	-	-	-
F _۲	الیاف فولادی ۰/۷۵٪	الیاف پلیمری ۰/۲۵٪	۴۲/۳	۴۱/۷	۳۸/۹	۳۳/۸	۵/۵۶	۳۱/۲	۳۷/۵	OK
F	الیاف فولادی ۱٪	الیاف پلیمری ۰/۲۵٪	۴۴/۵	۴۳/۲	۴۴/۱	۵۴	۷/۲	۳۲/۴	۳۸/۸	OK

نکته: f'_c = مقاومت روزه نمونه سیلندری = اولین ماکزیمم نیروی ترک خودرگی P_{300}^D = نیروی متناظر با تغییر مکان وسط دهانه برابر با $\frac{1}{\sqrt{3}}$ طول دهانه

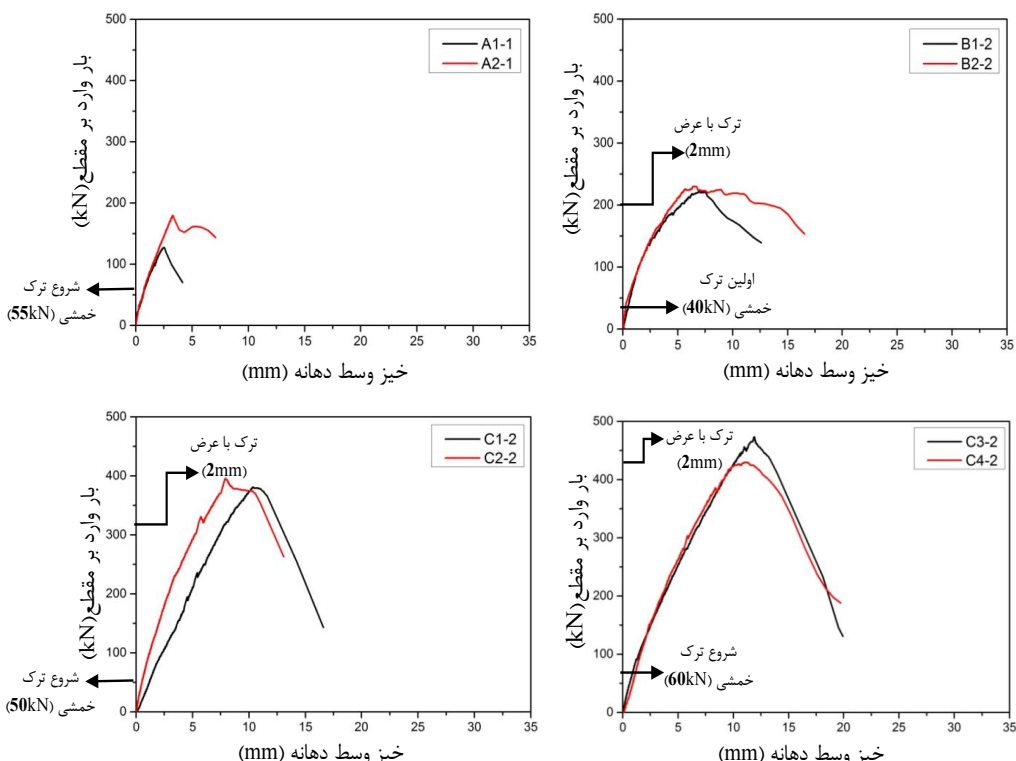
f_1 = مقاومت خمشی بتن بر اساس ازمایش ASTM C1609 = نیروی متناظر با تغییر مکان وسط دهانه برابر با $\frac{1}{\sqrt{15}}$ طول دهانه

۳- نتایج آزمایشگاهی

۱- آزمایشات مقاومت فشاری و خمشی نمونه‌ها

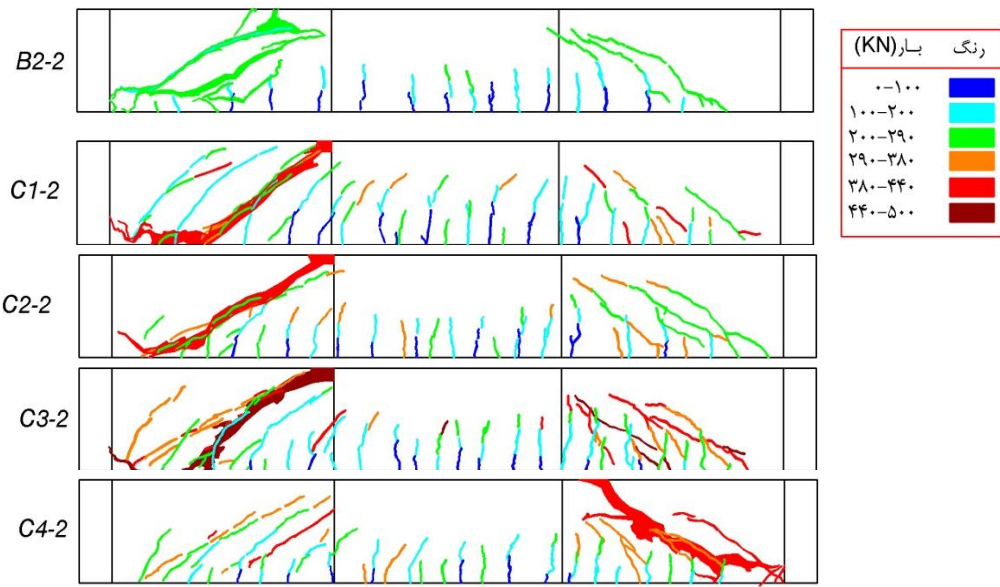
آزمایشات مقاومت فشاری و خمشی نمونه‌های بتنی پس از ۲۸ روز بر اساس استاندارد ASTMC1609 و ASTMC39 انجام شد. در آزمایش خمشی با محاسبه اولین مقدار ماکزیمم نیروی

در مقطعی که نیروی داخلی برتری تیر تحت اثر بارهای خارجی بین $\varphi V_c / 2 < V_u < \varphi V_c$ باشد، می‌توان از آن استفاده نمود. در نهایت، با توجه به این که در حد فاصل بین دو نقطه بارگذاری بر روی تیر فقط خمش خالص ضعیف وجود دارد، تمام سعی و تلاش در این تحقیق بر این بود که شکست تیر در فاصله خارج از $\frac{1}{3}$ میانی تیر و بر اساس شکست برتری اتفاق بیفتند.



شکل ۳. منحنی‌های بار-تغییر مکان وسط دهانه تیر

Fig. 3. Midspan load-displacement curves of beam specimens



شکل ۴. فرایند توسعه ترکها و شکل خرابی تعدادی از نمونه‌ها

Fig. 4. Process of crack development and failure mode

کاهش شدید ظرفیت بار وارد بر تیر بدون تغییر چندان در خیز وسط دهانه می‌باشد. اگر چه وجود الیاف فولادی باعث ایجاد ترک‌های متعدد و بازشدگی ترک‌ها در مقطع شد ولی در عمدۀ مواد خرابی به صورت آئی و با صدای مهیب همراه بود.

۱-۷- رشد و توسعه ترک‌ها در تیر

شکل خرابی و روند رشد و توسعه ترک‌ها در تعدادی از نمونه‌ها مطابق شکل ۴ نمایش داده شده است. وضعیت خرابی و توسعه ترک نمونه‌های دیگر نیز مشابه همین اشکال می‌باشد. جهت ارائه بهتر توسعه ترک با توجه به افزایش مقدار نیرو از تنوع رنگ متناسب با مقادیر نیرو استفاده گردید. همچنین، برش بحرانی، مشخصات ترک و خیز ماکریزم نمونه‌ها مطابق جدول ۶ می‌باشد.

۱-۸- مود خرابی تیرها

شکل ۵ مود شکست تعدادی از نمونه‌های تیر را نمایش می‌دهد. با کمی دقیقت در اشکال می‌توان دریافت که ترک‌های برشی قطری در زاویه حدود ۴۵° اتفاق افتاد. همانطور که از قبل فرایند شکست برشی برای نمونه‌های بتن مسلح با خاموت پیش‌بینی شده بود، اتفاق افتاد و یک ترک اصلی در حین خرابی در نمونه‌های بتن مسلح مشاهده شد.

ترک خوردگی^۱ و P_{300}^D که برابر با میزان نیروی متناظر با تغییر مکان وسط دهانه به مقدار $\frac{1}{300}$ طول دهانه و P_{150}^D برابر با نیروی متناظر با تغییر مکان وسط دهانه به مقدار $\frac{1}{150}$ طول دهانه بر اساس استاندارد ASTMC1609 می‌باشد، شرایط پذیرش ترکیب الیاف فوق به عنوان آرماتور برشی حداقل بر اساس ACI318-2011-2011 مورد بررسی قرار گرفت. نتایج ازمایشات فشاری و خمشی نمونه‌های غیر مسلح در جدول (۴) ارائه گردیده است.
نکته: $f'_c =$ مقاومت ۲۸ روزه نمونه سیلندری =First Peak
 $P_{300}^D =$ نیروی ترک خوردگی^۱
 $P_{150}^D =$ نیروی متناظر با تغییر مکان وسط دهانه برابر با $\frac{1}{300}$ طول دهانه.
 $f'_t =$ نیروی متناظر با تغییر مکان وسط دهانه برابر با $\frac{1}{150}$ طول دهانه
 $f'_c =$ مقاومت خمشی نمونه بتن بر اساس ازمایش ASTMC1609

۱-۶- منحنی بار- تغییر مکان وسط دهانه تیرهای بتن مسلح
شکل ۳ منحنی‌های تغییر مکان وسط دهانه در مقابل بار وارد بر تیرهای بتن مسلح مربوط به هشت گروه از نمونه‌های مورد بحث را نمایش می‌دهد. همچنین، نتایج ظرفیت باربری تیرها در جدول ۵ ارائه شده است. همانطور که مشاهده می‌شود بدون در نظر گرفتن تأثیر وجود الیاف فولادی و پلی‌پروپیلن و یا حضور خاموت، همه تیرها در یک مود خرابی برشی به مرحله خرابی رسیدند که به صورت

۱ First peak

جدول ۵. نتایج بارگذاری تیرها
Table 5. Test results of beams

شماره تیر	گروه تیر	مقاومت فشاری تیر $f_c' N/mm^2$	درصد آرماتور طولی	درصد آرماتور	خاموت برشی ماکریم بار وارد	$P_u(kN)$
A ₁		۳۵/۹	۲/۵	-	-	۱۲۷
A _۲	گروه	۳۸/۷	۴	-	-	۱۷۹
B _۱		۳۷	۲/۵	-	خاموت حداقل	۲۲۲
B _۲	گروه	۳۳/۲	۴	-	خاموت حداقل	۲۳۰
C _۱		۳۷/۷	۲/۵	الیاف فولادی ۰/۷۵٪	-	۳۸۱
C _۲		۳۶/۹	۴	الیاف پلیمری ۰/۲۵٪	-	۳۹۶
C _۳	گروه	۴۰/۷	۲/۵	الیاف فولادی ۰/۷۵٪	-	۴۷۳
C _۴	C	۳۷/۲	۴	الیاف پلیمری ۰/۲۵٪	-	۴۳۰

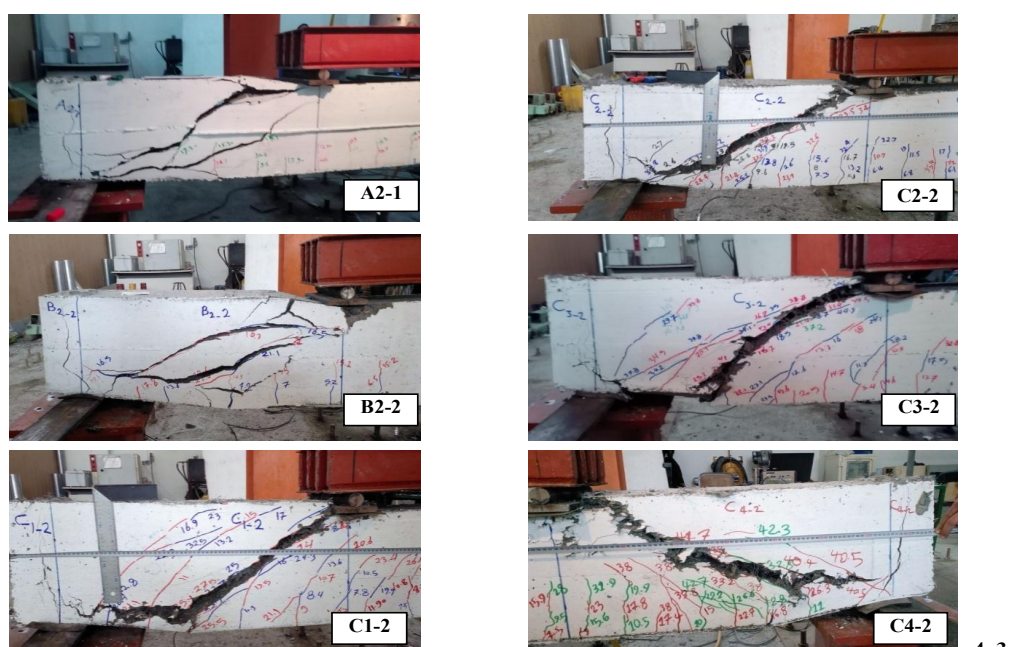
گروه A = تیرهای بدون خاموت برشی و الیاف گروه B = تیرهای دارای خاموت حداقل گروه C = تیرهای فقط دارای الیاف

بستگی دارد؛ هر چند، در حالت کلی هدف از افزودن الیاف به مخلوط بتن افزایش مقاومت فشاری نمیباشد.

همچنین، بر اساس نتایج جدول فوق اضافه نمودن الیاف فولادی به مقدار ۰/۱٪ یا ۷۵٪ حجم بتن، مقاومت خمسی و مقاومت فشاری و مقاومت بعد از ترک خوردگی را افزایش می‌دهد. لازم به توضیح است در طی فرایند بارگذاری توسط جک بتن‌شکن در آزمایش فشاری، به دلیل مکانیزم پل زدن الیاف، نمونه‌های بتن الیافی دچار خرابی کامل نشدند و جداسدگی در اجزای بتن مشاهده نشد بلکه نمونه‌ها

۴- بررسی نتایج آزمایشگاهی ۹- مقاومت فشاری و خمسی

مطابق جدول ۴، در حالت استفاده از الیاف فولادی نسبت به بتن معمولی یک افزایش در مقاومت فشاری مشاهده می‌شود که برای نمونه‌های F_۲ و F_۳ به ترتیب ۱۶٪ و ۲۸٪ می‌باشد. مقدار افزایش مقاومت فشاری به دلیل استفاده از الیاف به پارامترهای نظیر جنس الیاف، مشخصات الیاف، کسر حجمی الیاف، طرح اختلاط، توالی عناصر طرح اختلاط، طریقه ریختن بتن در قالب و ویبره نمودن



شکل ۵. مود خرابی در نمونه‌های تیر

Fig. 5. Failure mode of beam specimens

جدول ۶. مشخصات عمومی شکست تیرها

Table 6. General specifications of beam failure

نام نمونه	مقاومت خراصی (kN)	بار ماقریزیم	$f'_c \text{ N/mm}^2$	فشاری تیر	خواص تیرها	محل اثر شروع ترک بحرانی از تکیه گاه (mm)	زاویه ترک (درجه)	زاویه بحرانی (درجه)	وسط ارتفاع تیر (درجه)	زاویه ترک ها در	خیز ماقریزم (mm)
A _{I-1}	۳۵/۹	۱۲۷	۳۵/۹	۰/۱۸۵	۱۱-۱۵	تکیه گاه راست-۳۵۰	۲۷	۴۵	عمدتاً خمثی،	عمدتاً خمثی،	۶/۲
A ₂₋₁	۳۸/۷	۱۷۹	۳۸/۷	۰/۲۵۱	۱۱-۱۶	تکیه گاه چپ-۳۳۰	۳۵	۵۰	عمدتاً خمثی،	عمدتاً خمثی،	۱۷/۱
B _{I-2}	۳۷	۲۲۲	۳۷	۰/۳۱۸	۱۱-۱۵	تکیه گاه راست-۳۳۰	۳۰	-	عمدتاً خمثی-	برشی، ۴۵،	۲۳
B ₂₋₂	۳۳/۲	۲۳۰	۳۳/۲	۰/۳۴۸	۹-۱۴	تکیه گاه چپ-۴۰۰	۳۰	-	عمدتاً خمثی-	برشی، ۴۵،	۳۱/۶
C _{I-2}	۳۷/۷	۳۸۱	۳۷/۷	۰/۵۴	۷-۱۱	تکیه گاه چپ-۴۰۰	۳۲	-	عمدتاً خمثی-	برشی، ۴۵،	۳۱/۵
C ₂₋₂	۳۶/۹	۳۹۶	۳۶/۹	۰/۵۶۱	۵/۵-۸	تکیه گاه چپ-۳۸۰	۳۰	۳۵	خمثی-برشی،	خمثی-برشی،	۳۰/۸
C ₃₋₂	۴۰/۷	۴۷۳	۴۰/۷	۰/۵۹	۵-۶	تکیه گاه چپ-۴۰۰	۳۰	۳۰	خمثی-برشی،	خمثی-برشی،	۳۲/۵۴
C ₄₋₂	۳۷/۲	۴۳۰	۳۷/۲	۰/۶۱	۴-۷	تکیه گاه راست-۳۳۰	۲۸	-	عمدتاً خمثی-	برشی، ۲۵	۳۳

به عنوان جایگزین آرماتور برشی می‌توان استفاده نمود.

۱-۱- منحنی بار- تغییر مکان وسط دهانه تیرها

بر اساس نتایج جدول ۵ و مقایسه ظرفیت برشی مقطع دارای فولاد برشی حداقل با مقطع شامل ۰/۷۵٪ حجم الیاف فولادی و ۰/۲۵٪ حجم الیاف پلیمری، می‌توان از الیاف فوق به عنوان جایگزین خاموت برشی حداقل استفاده نمود. از شکل ۳ می‌توان دریافت که سختی تیرهای با خاموت وقتی ظرفیت به ۴۰ تا ۵۰ درصد ظرفیت

انرژی داخلی بیشتری را تا انتهای آزمایش به همراه داشتند و فرایند شکست نمونه‌ها در این حالت به زمان بیشتری نیاز داشت. شرایط پذیرش ترکیب الیاف فلزی موج دار با قلاب انتهایی و پلیپروپیلن با توجه به نتایج جدول ۳ به عنوان آرماتور حداقل برشی بر اساس [۲۰] ACI318-2011 مورد بررسی قرار گرفته، و الیاف ترکیبی فوق پذیرفته شدند. در نتیجه می‌توان از الیاف فولادی استفاده شده در این تحقیق (در کسرهای حجمی ۰/۷۵٪، ۱٪) الیاف فلزی در مناطقی از تیر که نیاز به استفاده از آرماتور برشی حداقل باشد از آن

جدول ۷. مشخصات رشد و توسعه ترک تیرها در حین بارگذاری

Table 7. Characteristics of growth and development of cracks during loading

نام نمونه	مقدار بار ماقریزم در حین خیز (KN)	وضعیت ترک در حین خیز (۰-۸) mm	مقدار بار ماقریزم در حین خیز (۸-۱۶) mm	وضعیت ترک در حین خیز (۸-۱۶) mm	مقدار بار ماقریزم در حین خیز (۰-۸) mm
A _{I-1}	۱۲۷	اولین ترک خمثی در بار اتفاق افتاده و به ۵ KN صورت ترد در بار نهایی شکست	-	-	-
A ₂₋₁	۱۰۶	اولین ترک خمثی در بار اتفاق افتاده ۵۵kN	۱۷۹ KN	در اثر برش و شفار اتفاق افتاد.	اولین ترک خمثی در بار اتفاق افتاده و به ۵ KN صورت ترد در بار نهایی شکست
B _{I-2}	۲۲۰	اولین ترک خمثی در بار اتفاق افتاده ۴۰KN	۲۲۲	عرض ترک تا حدود ۳/۵mm اضافه شد	اولین ترک خمثی در بار اتفاق افتاده ۴۰KN
B ₂₋₂	۲۲۰	اولین ترک خمثی در بار اتفاق افتاده ۴۵KN	۲۳۰	عرض ترک تا حدود ۴mm در حین خاموت اضافه شد	اولین ترک خمثی در بار اتفاق افتاده ۴۵KN
C _{I-2}	۲۹۷	اولین ترک خمثی در بار اتفاق افتاده ۴۷KN	۳۷۷	ترک تا ۳mm مشاهده شد	اولین ترک خمثی در بار اتفاق افتاده ۴۷KN
C ₂₋₂	۳۵۹	عرض ترک تا ۱mm مشاهده شد	۳۹۶	عرض ترک تا ۱/۵mm مشاهده شد	عرض ترک تا ۱mm مشاهده شد
C ₃₋₂	۳۵۳	عرض ترک تا ۱mm مشاهده شد	۴۷۳	عرض ترک تا ۱/۵mm مشاهده شد	عرض ترک تا ۱mm مشاهده شد
C ₄₋₂	۳۶۷	عرض ترک تا ۱mm مشاهده شد	۴۳۰	عرض ترک تا ۰/۷۵mm مشاهده شد	عرض ترک تا ۰/۵mm مشاهده شد

جدول ۸. خلاصه‌ای از فرمول‌های ارائه شده جهت پیش‌بینی مقاومت برشی مقطع
Table 8. A summary of formulas presented to predict shear strength

فرمول	توضیحات
<i>Sharma</i> [۲۹]: $V_u = \frac{\gamma}{\gamma} f'_t' \left(\frac{d}{a}\right)^{1/25}$	میانگین تنش برشی در تیرهای بتن الیافی در لحظه خرابی = V_u $f'_c' =$ مقاومت فشاری بتن d/a = نسبت عمق موثر به دهانه برش $f'_t' = 79 f_c'^{1/5}$ مقاومت کششی سیلیندری در بتن =
<i>Narayanan and Darwish</i> [۳۰]: $V_u = e \left[\cdot / 24 f_{spfc} + \lambda \cdot \rho \frac{d}{a} \right] + V_b$	$e = \begin{cases} \frac{a}{d} > 2/\lambda & 1 \\ \frac{a}{d} \leq 2/\lambda & 2/\lambda \frac{d}{a} \end{cases}$ تور عمیکرد و سی $\frac{f_{cuf}}{(20 - \sqrt{F})} + \cdot / 7 + 1 / \sqrt{F} f_{spfc} =$ متک ششی سیلیندری $f_{cuf} =$ مقاومت نمونه مکعبی بتن الیافی $\frac{L_f}{d_f V_f D_f} F =$ تور ایاف $\rho = \begin{cases} 0.5 & \text{اف چگرد} \\ 0.75 & \text{تور بازد} \\ 1 & \text{اف چیف موج دار} \end{cases}$ درصد آرماتور طولی $V_b = 0.41 \times \tau \times F$ مقاومت برشی باند = $\tau = \frac{1 + \sqrt{5/0.8}}{\sqrt{(1+d_a)/25 d_a}} \psi =$ تور تا ایاف اندازه ایاف $d_a =$ ماکریم اندازه دانه سنگی $= \rho(1+4F) \omega =$ تور آرمه ور طولی $= \frac{L_f}{d_f V_f D_f} F =$ تور ایاف $\cdot / 5 \begin{cases} \text{اف چیف موج دار} & D_f = \\ \cdot / 9 & \text{تور بازد} \\ 1 & \text{اف چیف قلاب دار} \end{cases}$ درصد آرماتور طولی $\cdot / 5 \begin{cases} \text{اف چیف موج دار} & D_f = \\ \cdot / 9 & \text{تور بازد} \\ 1 & \text{اف چیف قلاب دار} \end{cases}$ فاکتور عملکرد سهمی $f_{spfc} =$ مقاومت کششی سیلیندری $\rho =$ درصد آرماتور طولی $\frac{d}{a}$ = نسبت عمق موثر به دهانه برش $\cdot V_b = 0.41 \tau F$ میانگین مقاومت باند = $\tau =$ نسبت دهانه برش به عمق موثر = $f'_c' =$ مقاومت فشاری بتن $\frac{L_f}{d_f V_f D_f} F =$ تور ایاف $\rho =$ درصد آرماتور طولی $\frac{d}{a}$ = نسبت عمق موثر به دهانه برش = $\cdot V_b = 0.41 \tau F$
<i>Imam et. al.</i> [۳۱]: $V_u = 0.8 \psi \sqrt{w} \left[f'_c'^{1/44} + 275 \sqrt{\frac{w}{\left(\frac{a}{d}\right)^5}} \right]$	
<i>Kwak et. al.</i> [۲۷]: $V_u = 0.7 \epsilon f_{spfc}^{1/3} \left(\rho \cdot \frac{d}{a} \right)^{1/3} + \cdot / N_b$	
<i>Ashour et. al.</i> [۳۲]: $\begin{cases} \frac{a}{d} > 2/5 & V_u = (2/1) \sqrt{f'_c'} + V_F (\rho d/a)^{1/3} \\ \frac{a}{d} < 2/5 & V_u = \frac{2/5}{a/d} + V_b (2/5 - \frac{a}{d}) \end{cases}$ معادله (الف)	

$$Shin \text{ et al. [۳۳]}: \begin{cases} \frac{a}{d} > 2 & V_u = 0.17f_{sp} + 93\rho(\frac{d}{a}) + 0.834V_b \\ \frac{a}{d} < 2 & V_u = 0.22f_{sp} + 217\rho(\frac{d}{a}) + 0.834V_b \end{cases}$$

$$Khuntia \text{ et al. [۳۴]}: V_u = (0.167\alpha + 0.25\beta) V_f \frac{L_f}{d_f} \sqrt{f_c}$$

میانگین مقاومت باند = τ
 مقاومت کششی سیلندری = f_{sp}
 $\frac{L_f}{d_f V_f D_f} F =$ تور ال یاف
 $\rho =$ درصد آرماتور طولی
 $\frac{d}{a} =$ نسبت عمق موثر به دهانه برش
 $V_b = 0.41\tau F$
 میانگین مقاومت باند = τ

$\alpha = \begin{cases} \frac{a}{d} > 2/5 & 1 \\ \frac{a}{d} \leq 2/5 & 2/5 \leq \frac{d}{a} \leq 3 \end{cases}$
 فاکتور درصد حجمی الیاف = V_f
 $\beta = \begin{cases} 1 & \text{یاف ڈلائیف دار و موجدار فولادی} \\ 2 & \text{یاف شکل ال یاف و نوع بتن} \\ 3 & \text{اجیف، مقطع دایره ای در بتن معمولی} \end{cases}$
 طول الیاف = L_f
 قطر الیاف = d_f
 مقاومت فشاری بتن = f'_c

۱-۱۱- رشد و توسعه ترکها

مطابق با شکل ۴ می‌توان به طور وضوح مشاهده نمود که شکل توسعه ترک برای رسیدن به مرحله خرابی برای بتن معمولی و بتن الیافی تا حد زیادی مشابه یکدیگر می‌باشد، با این حال، در تیرهای با بتن الیافی تعداد بیشتری از ترکهای خمشی و خمی-برشی در مقایسه با بتن معمولی مشاهده شد که این مورد از نتایج تحقیق اولد و همکاران [۲۶] نیز می‌باشد.

علت عدمه برای پیدایش ترکهای متعدد در بتنهای الیافی به دلیل عملکرد پل زدن الیاف بوده که ضمناً از توسعه ترک نیز جلوگیری می‌نماید. همانطور که در اشکال توسعه ترکها در تیرهای بتن الیافی مشاهده می‌شود با اضافه نمودن حداقل ۷۵٪ الیاف فولادی به مخلوط بتن، ترکهای خمشی و خمی-برشی کنترل شده‌اند. ضمناً در نمونه فوق، ترکها به سمت منطقه فشاری تیرها نیز توسعه یافته‌اند که بیانگر هدایت عمق تار خنثی به سمت بالای مقطع در اثر عملکرد مناسب الیاف می‌باشد.

به طور مشخص در حین بارگذاری در مراحل ابتدایی بارگذاری فقط ترکهای خمشی در حدود بار ۵ ton در همه تیرها مشاهده شد و با افزایش بارگذاری خارجی، تیرها دچار خیز شده و باعث پیدایش ترکهای خمشی جدید و افزایش عرض ترکها شدند. در این حالت کمی چرخش در تیر ایجاد شده و باعث ایجاد ترکهای قطری خمشی-برشی در دهانه‌های برشی خواهد شد. همزمان با

نهایی می‌رسد، کاهش قابل توجهی می‌یابد در حالی که برای نمونه‌های بتنی حاوی الیاف، سختی در طول مدت بارگذاری تا نقطه اوج کاهش کمتری پیدا می‌کند. این واقعیت اساساً با توجه به شکل و عرض ترکهای قطری برشی در تیرهای دارای خاموت و تیرهای حاوی الیاف اتفاق می‌افتد، همان‌طوری که در ادامه مشاهده می‌شود خاموت‌های فولادی که به صورت منظم در تیر جایگذاری می‌شوند می‌توانند تنفس کششی را در محل ترک حتی با پیدایش ترکهای بزرگ انتقال دهند. به همین دلیل شب منحنی ظرفیت بار در نمونه‌های با خاموت بعد از نقطه ماکزیمم بار-تغییر مکان به نسبت سایر نمونه‌های دیگر ملایم‌تر می‌باشد. این در حالی است که در مقاطع مسلح شده به الیاف از بازشدگی ترک توسط مکانیزم پل زدن الیاف جلوگیری می‌شود ولی وقتی تنفس کششی اصلی در محل ترک بحرانی از مقدار مقاومت کششی ترک بیشتر شود، ترک شروع به باز شدن نموده و الیاف شروع به بیرون کشیده شدن می‌نماید، که در نهایت منجر به کاهش ظرفیت برشی مقطع می‌شود. مطابق با نمودارهای بار-تغییر مکان در شکل ۳، تغییر مکان وسط دهانه متناظر با مقدار بار ماکزیمم که توسط نمونه‌های با خاموت برشی تحمل شد در حدود ۵mm ثبت شد ولی برای نمونه‌های بتنی حاوی الیاف، تغییر مکان وسط دهانه متناظر با مقدار بار ماکزیمم در حدود ۱۰mm ثبت شد که می‌تواند بیانگر افزایش شکل‌پذیری و انرژی مستهلك شده توسط تیرهای با بتن الیافی در مرحله خرابی باشد.

۱-۱۲- مود خرابی نمونه‌ها

ترک اصلی که در حین خرابی برای نمونه‌های بتن حاوی الیاف ترکیبی فولادی و پلیپروپیلن مشاهده شد مشابه با نمونه‌های بتن مسلح با خاموت بوده ولی در این مورد ترک‌های برشی دیگری با عرض ترک کمتر در نمونه تیر مشاهده شد و ترک‌های فوق به صورت خیلی نزدیک به هم و به طرف ترک اصلی توسعه پیدا نمودند. همانطور که مشاهده شد با افزایش درصد الیاف ترکیبی فولادی و پلیپروپیلن تعداد ترک‌های برشی به دلیل مکانیزم پل‌زن توسط الیاف توسعه یافتد. به عنوان مثال در نمونه تیرهای C_4 و C_3 در مرحله خرابی در مقایسه با نمونه‌های B_2 ، B_1 ، C_1 و C_2 تعداد زیادی ترک البته با عرض خیلی کمتر مشاهده شد. ضمناً با توجه به نتایج جدول ۷ مشاهده شد که با افزایش درصد الیاف ترکیبی فولادی و پلیمری تغییر چندانی در مقاومت فشاری نمونه‌های با الیاف و بدون الیاف به جز یک مورد که باز هم بستگی به شرایط مصالح و نمونه داشت مشاهده نشد. در نمونه‌های الیافی رفتار مناسبتری بعد از ترک‌خوردگی در فشار و خمش در نمونه‌ها مشاهده شد و ظرفیت باربری بالاتری تا مرحله خرابی برای آن‌ها به دست آمد.

۵- مقایسه مقاومت برشی آزمایشگاهی با نتایج پیش‌بینی شده توسط سایر محققان و ارائه مدل پیشنهادی مقاومت برشی

همان‌طور که بیان شد الیاف فولادی با توجه به اینکه در حجم تیر پخش می‌شوند، در محل ایجاد ترک‌های قطری به دلیل تحمل مقاومت کششی باعث افزایش ظرفیت برشی مقطع خواهد شد. هفت مدل آزمایشگاهی جهت پیش‌بینی مقاومت برشی مطابق جدول ۸ ارائه شده است [۲۴].

نتایج آزمایشگاهی و نتایج حاصل از فرمول‌های پیشنهادی سایر محققین در شکل (۶) و جدول (۹) نمایش داده شده است.داده‌های اولیه بر اساس نتایج پارامونتی سینس [۲۳] ارائه شده است.داده‌های آزمایشگاهی و نتایج مدل‌های پیشنهادی در محدوده وسیعی قرار گرفته است. مدل‌های ارائه شده توسط شرما^۳ [۳۰] و کانتیا و همکاران^۴ [۳۱] عموماً نظیر مدل ارائه شده توسط نارایانان و درویش^۵ [۳۲]

افزایش بار خارجی ترک‌های قطری برشی بیشتری در جان تیرها بین تکیه‌گاه و نقطه بارگذاری ایجاد خواهد شد و در نهایت با افزایش عرض ترک‌های قطری مقطع گسیخته خواهد شد. در خرابی برشی، ترک بحرانی معمولاً در امتداد میلگرد طولی از انتهای تیر به طرف محل اثر بارگذاری در نوک تیر امتداد می‌یابد. پرسه فوق تقریباً برای همه تیرها مشابه بوده و بستگی زیادی به حضور آرماتور برشی یا الیاف نداشته در حالی که فواصل و عرض ترک‌های قطری برشی به مقدار زیادی به آن‌ها بستگی دارد. برای تیرهای با بتن معمولی و بدون خاموت مطابق با نتایج شیویا و همکاران^۱ [۲۱] فاصله بین ترک‌ها در وسط ارتفاع تیر حدود $h/5$ می‌باشد و همچنین برای تیرهای با بتن الیافی با درصد الیاف بین $0/5$ تا $0/75$ درصد بر اساس کواک و همکاران^۲ [۲۹] مشاهده شد که فاصله بین ترک‌ها نسبت به بتن معمولی 38% کمتر می‌باشد. رشد و توسعه ترک در حین بارگذاری تیرهای مورد آزمایش با توجه به مقدار خیز مطابق جدول ۷ ارائه شده است.

در تحقیق حاضر مطابق با نتایج شکست تیرها و بررسی تمامی ترک‌هایی که در وسط ارتفاع تیر زوایایی بین 0° تا 75° درجه با محور طولی تیر داشتند فاصله بین ترک‌ها برای حالت تیر با بتن معمولی و خاموت برشی بین 9 تا 15 میلی‌متر و برای بتن الیافی با $0/75\%$ الیاف فولادی بین 5 تا 11 mm و برای بتن الیافی با $1/0\%$ الیاف فولادی بین 4 تا 7 mm مشاهده شد.

معمول استفاده از خاموت برشی باعث به وجود آمدن ترک‌های قطری با عرض بازشدنگی بیشتر در مقایسه با استفاده از الیاف در مرحله خرابی شده است که علت آن تحمل بیشتر نیروی کششی توسط خاموت‌های منظم در مرحله خرابی تیر نسبت به الیاف‌هایی است که به صورت نامنظم در تیر پخش شده‌اند. مطابق جدول (۶) تنش برشی نرمالایز از فرمول $\frac{V}{b.d.\sqrt{f'_c}} = \gamma$ محاسبه شده است که در آن V نیروی برشی وارد بر مقطع، b عرض مقطع، d عمق مؤثر تیر و f'_c مقاومت فشاری بتن نمونه سیلندری می‌باشد. ماکزیمم مقدار تنش برشی نرمالایز در حالت استفاده از $1/0\%$ الیاف فولادی به همراه $0/25\%$ الیاف پلیمری نسبت به حالت استفاده از خاموت برشی حداقل $\frac{1/75}{1/75} = 1/61$ می‌باشد؛ به عبارت دیگر، مقدار تنش برشی مقاطع حدود 75% افزایش یافته است.

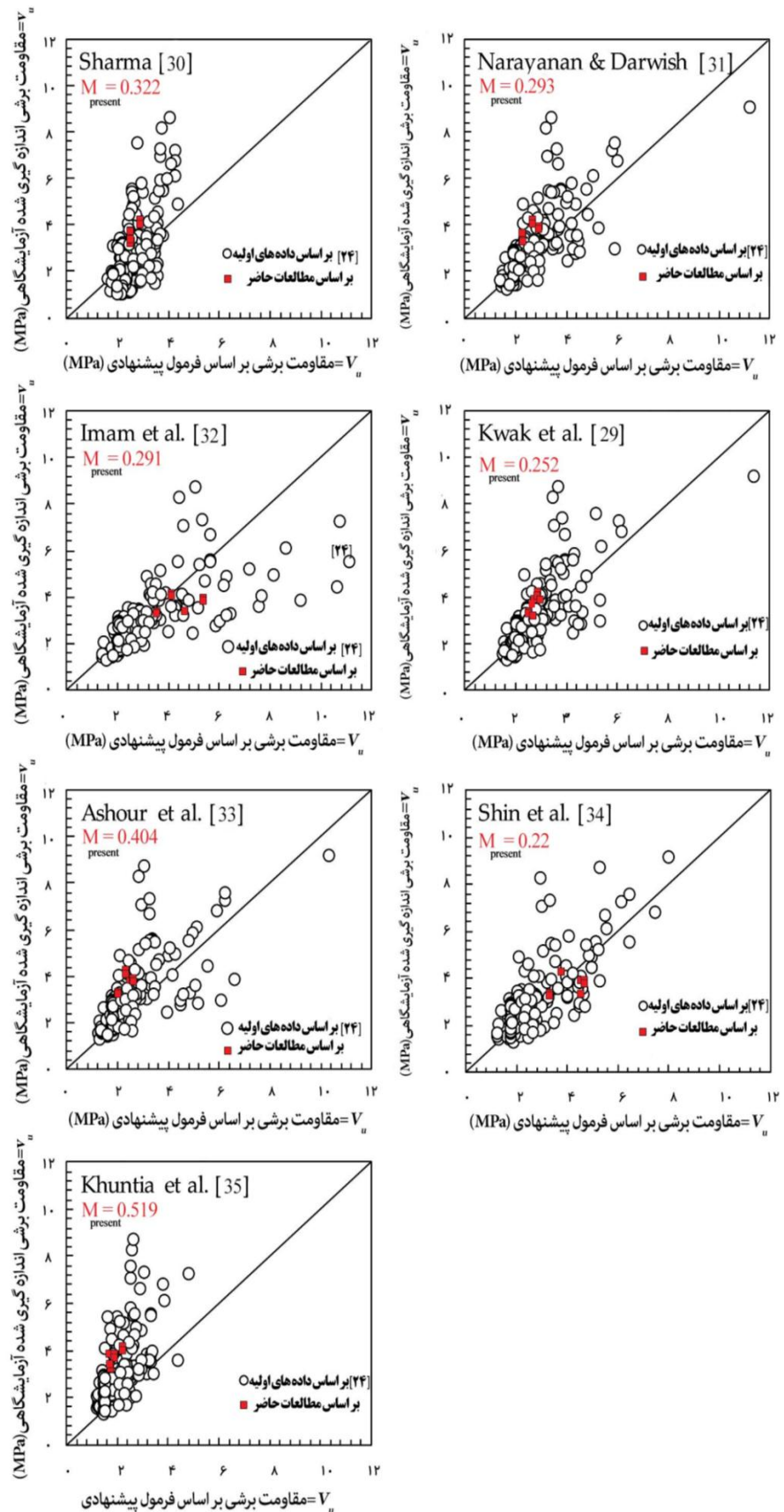
1 Shioya et al.

2 Kwak et al.

3 Sharma

4 Khuntia et al.

5 Narayanan et al.



شکل ۶. مقایسه نتایج آزمایشگاهی و نتایج حاصل از فرمول‌های پیشنهادی

Fig. 6. Comparison of experimental results and predicted results of proposed equations

جدول ۹: مقایسه نتایج آزمایشگاهی با مدل پیشنهادی مقاومت برشی

Table 9. Comparison of experimental results with proposed model of shear strength

نام نمونه	نتایج آزمایشگاهی مقاومت برشی (MPa)	مقادیر پیشنهادی مقاومت برشی						
		Sharma	Narayanan and Darvish	Imam et al.	Kwak et al.	Ashour et al.	Shin et al.	Khuntia et al.
C ₁₋₂	۳/۲۶	۱/۲۸	۱/۳۱	۰/۹۳۶	۱/۲۹	۱/۴۸	۰/۹۳	۱/۸۷
C ₂₋₂	۳/۳۹	۱/۳۵	۱/۱۴	۰/۷۲۱	۱/۲	۱/۳۲	۰/۷۲	۱/۹۶
C ₃₋₂	۴/۰۵	۱/۵۴	۱/۴۲	۱	۱/۴۱	۱/۶۴	۱/۰۷۳	۱/۹۶
C ₄₋₂	۳/۶۸	۱/۴۶	۱/۲۳	۰/۶۸	۱/۱۹	۱/۳	۰/۷۴	۱/۸۶

پارامتر ضریب خطا (M) به وسیله نویل و همکاران^۴ [۳۶] به صورت رابطه $M = \frac{1}{S_{ave}(t, t_0)^{\frac{1}{2}}} (\sum [S_0(t, t_0) - S_p(t, t_0)]^2 / n - 1)^{\frac{1}{2}}$ پیشنهاد گردید که در آن $S_0(t, t_0)$ برابر با مقدار مقاومت برشی مشاهده شده در آزمایش $S_p(t, t_0)$ میانگین و $(S_p(t, t_0))^2$ برابر با مقاومت برشی پیشنهادی، $S_{ave}(t, t_0)$ تعداد مقاومت‌های برشی مشاهده شده در آزمایش برای نمونه‌ها و n نمونه‌ها می‌باشد. بر اساس تحقیقات محققان قبلی تا مقدار ۰/۱۵ برای پارامتر ضریب خطا مدل پیشنهادی، مقاومت برشی از دقت خوبی برخوردار می‌باشد [۳۷، ۳۶].

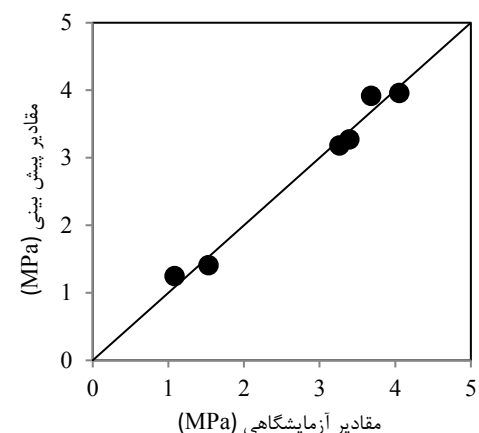
در انتهای با استفاده از نتایج آزمایشگاهی این تحقیق و با بررسی پارامترهای حساس در روابط پیشنهاد شده توسط سایر محققین، رابطه زیر برای پیش‌بینی مقاومت برشی بتن مسلح به الیاف پیشنهاد می‌شود که از دقت مناسبی برخوردار است ($R^2 = 0.98$):

$$V_u = (0.167 + 0.664 V_f) \frac{l_f}{d_f} \sqrt{f'_c} + 13/17 (\rho \frac{d}{a})^{0.857} \quad (1)$$

مقایسه نتایج آزمایشگاهی در مقابل نتایج پیش‌بینی به دست آمده از رابطه (1) در شکل ۷ نشان داده شده است. همانطور که ملاحظه می‌شود نتایج پیش‌بینی از دقت قابل قبولی در برابر داده‌های آزمایشگاهی برخوردار است.

۶- نتیجه‌گیری

بر اساس نتایج مطالعات انجام شده بر روی رفتار برشی هشت سری تیر بتن آرمه با نسبت‌های مختلف از درصد آرماتور طولی و



شکل ۷: مقایسه نتایج آزمایشگاهی و نتایج پیش‌بینی حاصل از رابطه پیشنهادی (1)

Fig. 7. Comparison of experimental results and predicted results of proposed equation (1)

1 Imam et al.

2 Ashour et al.

3 Shin et al.

۷- مراجع

- [1] T. Uygunoğlu, Investigation of microstructure and flexural behavior of steel-fiber reinforced concrete, Materials and structures, 41(8) (2008) 1441-1449.
- [2] F.U.A. Shaikh, Review of mechanical properties of short fibre reinforced geopolymmer composites, Construction and building materials, 43 (2013) 37-49.
- [3] Y. Mohammadi, S. Singh, S. Kaushik, Properties of steel fibrous concrete containing mixed fibres in fresh and hardened state, Construction and Building Materials, 22(5) (2008) 956-965.
- [4] Ş. Yazıcı, G. İnan, V. Tabak, Effect of aspect ratio and volume fraction of steel fiber on the mechanical properties of SFRC, Construction and Building Materials, 21(6) (2007) 1250-1253.
- [5] R.F. Zollo, Fiber-reinforced concrete: an overview after 30 years of development, Cement and Concrete Composites, 19(2) (1997) 107-122.
- [6] R. Gettu, Fibre Reinforced Concrete: Design and Applications. BEFIB 2008, RILEM Proc. PRO60, RILEM Publications SARL, Bagneux, France, (2008).
- [7] M. Di Prisco, G. Plizzari, L. Vandewalle, Fibre reinforced concrete: new design perspectives, Materials and structures, 42(9) (2009) 1261-1281.
- [8] S. Singh, A. Shukla, R. Brown, Pullout behavior of polypropylene fibers from cementitious matrix, Cement and Concrete Research, 34(10) (2004) 1919-1925.
- [9] A.E. Naaman, T. Wongtanakitcharoen, G. Hauser, Influence of different fibers on plastic shrinkage cracking of concrete, ACI materials Journal, 102(1) (2005) 49.
- [10] M. Soutsos, T. Le, A. Lampropoulos, Flexural performance of fibre reinforced concrete made with steel and synthetic fibres, Construction and building materials, 36 (2012) 704-710.
- [11] A.A. Shah, Y. Ribakov, Recent trends in steel fibered high-strength concrete, Materials & Design,

الیاف و همچنین در حالت مسلح شده فقط با خاموت حداقل برشی و بدون خاموت برشی نتایج ذیل حاصل شد:

۱- با اضافه نمودن الیاف فولادی و پلی پروپیلن، مقاومت کششی بعد از ترک خوردگی بوسیله انتقال نیروی کششی توسط الیاف افزایش می‌یابد.

۲- با اضافه نمودن الیاف فولادی موج دار با قالب انتهایی به میزان ۱٪ و ۷۵٪ و الیاف پلی پروپیلن به میزان ۰٪ و ۲۵٪ شکل‌پذیری مقطع اضافه گردیده و ضمناً ترک‌های متعدد با فواصل کم در نمونه‌های تیر مشاهده شد.

۳- با اضافه نمودن الیاف فولادی موج دار با قالب انتهایی به میزان ۰٪ و ۷۵٪ و الیاف پلی پروپیلن به میزان ۰٪ و ۲۵٪ حجم بتن مقاومت برشی بتن بیشتر از میزان $\sqrt{f_c}$ در نمونه‌های تحت آزمایش مشاهده شد.

۴- با افزایش درصد حجمی الیاف مصرفی زاویه ترک بحرانی با محور افق کاهش یافته و تاثیر تغییر درصد آرماتور طولی در مقایسه با تاثیر درصد الیاف بر روی زاویه ترک بحرانی و نیروی برشی نهایی چندان چشمگیر نمی‌باشد.

۵- با مقایسه نتایج مقاومت برشی حاصل از شکست تیرها با فرمول‌های ارائه شده توسط سایر محققان، فرمول‌های پیشنهادی از دقت نسبتاً قابل قبول برخوردار بوده و بجز یک مورد در سایر موارد تاثیر ابعاد مقطع بر روی ظرفیت برشی مقطع مشاهده نشد.

۶- با توجه به انجام آزمایشات تا مرحله خرابی تیرها مشاهده گردید، فرایند ترک خوردگی به صورت قابل ملاحظه‌ای تحت تاثیر عناصر مقاوم برشی نظری خاموت برشی، الیاف فولادی قرار ندارد ولی فواصل و عرض ترک‌ها به شدت تحت تاثیر آن‌ها قرار دارد.

۷- با اضافه نمودن حداقل ۷۵٪ الیاف فولادی با توجه به مشخصات ارائه شده همراه با ۲۵٪ الیاف پلیمری و انجام آزمایش بر اساس دستورالعمل ASTMC1609 در کنار بررسی شرایط پذیرش الیاف ترکیبی به عنوان آرماتور برشی حداقل مبتنی بر استاندارد ACI318-2011، الیاف فوق مورد پذیرش واقع شدند.

۸- با استفاده از نتایج آزمایشگاهی این تحقیق و با بررسی پارامترهای حساس در روابط پیشنهاد شده توسط سایر محققین، رابطه‌ای برای پیش‌بینی مقاومت برشی بتن مسلح به الیاف پیشنهاد شد که از دقت مناسبی برخوردار است.

- Beam With Third-Point Loading), ASTM vol. 0.4, 2 (2005).
- [23] G.J. Parra-Montesinos, Shear strength of beams with deformed steel fibers, *Concrete International*, 28(11) (2006) 57-66.
- [24] D.-Y. Yoo, J.-M. Yang, Effects of stirrup, steel fiber, and beam size on shear behavior of high-strength concrete beams, *Cement and Concrete Composites*, 87 (2018) 137-148.
- [25] H.H. Dinh, Shear Behavior of Steel Fiber Reinforced Concrete Beams without Stirrup Reinforcement, (2009).
- [26] H. Aoude, M. Belghiti, W.D. Cook, D. Mitchell, Response of Steel Fiber-Reinforced Concrete Beams with and without Stirrups, *ACI Structural Journal*, 109(3) (2012).
- [27] ASTM, Standard test method for sand equivalent value of soils and fine aggregate, (2009).
- [28] A. Committee, çASTM C 39 Standard Test Method for Compressive Strength of Cylindrical Concrete Specimensé, Annual Book of ASTM Standard, Section, 4 (2004).
- [29] Y.-K. Kwak, M.O. Eberhard, W.-S. Kim, J. Kim, Shear strength of steel fiber-reinforced concrete beams without stirrups, *ACI Structural Journal*, 99(4) (2002) 530-538.
- [30] A. Sharma, Shear strength of steel fiber reinforced concrete beams, in: *Journal Proceedings*, 1986, pp. 624-628.
- [31] M. Khuntia, B. Stojadinovic, S.C. Goel, Shear strength of normal and high-strength fiber reinforced concrete beams without stirrups, *Structural Journal*, 96(2) (1999) 282-289.
- [32] R. Narayanan, I. Darwish, Use of steel fibers as shear reinforcement, *Structural Journal*, 84(3) (1987) 216-227.
- [33] M. Imam, L. Vandewalle, F. Mortelmans, D. Van Gemert, Shear domain of fibre-reinforced high-strength concrete beams, *Engineering structures*, 19(9) (1997) 738-747.
- [34] S.A. Ashour, G.S. Hasanain, F.F. Wafa, Shear behavior of high-strength fiber reinforced concrete 32(8-9) (2011) 4122-4151.
- [12] W. Yao, J. Li, K. Wu, Mechanical properties of hybrid fiber-reinforced concrete at low fiber volume fraction, *Cement and concrete research*, 33(1) (2003) 27-30.
- [13] A.C. Institute, State-of-the art report on fiber reinforced concrete: reported by ACI Committee 544. ACI 544.1 R-82, in, American Concrete Institute, 1986.
- [14] P. Adebar, S. Mindess, D.S.-. Pierre, B. Olund, Shear tests of fiber concrete beams without stirrups, *Structural Journal*, 94(1) (1997) 68-76.
- [15] P. Wang, Z. Huang, J. Jiang, Y. Wu, Performance of hybrid fiber reinforced concrete with steel fibers and polypropylene fibers, in: *Civil Engineering and Urban Planning 2012*, 2012, pp. 458-461.
- [16] A. Alhozaimy, P. Soroushian, F. Mirza, Mechanical properties of polypropylene fiber reinforced concrete and the effects of pozzolanic materials, *Cement and Concrete Composites*, 18(2) (1996) 85-92.
- [17] A. Sivakumar, M. Santhanam, Mechanical properties of high strength concrete reinforced with metallic and non-metallic fibres, *Cement and Concrete Composites*, 29(8) (2007) 603-608.
- [18] M. Hsie, C. Tu, P. Song, Mechanical properties of polypropylene hybrid fiber-reinforced concrete, *Materials Science and Engineering: A*, 494(1-2) (2008) 153-157.
- [19] D.R. Sahoo, A. Solanki, A. Kumar, Influence of steel and polypropylene fibers on flexural behavior of RC beams, *Journal of Materials in Civil Engineering*, 27(8) (2014) 04014232.
- [20] A. ACI, 318-11: Building Code Requirements for Structural Concrete, Farmington Hills, MI: American Concrete Institute, (2011) 505.
- [21] T. Shioya, M. Iguro, Y. Nojiri, H. Akiyama, T. Okada, Shear strength of large reinforced concrete beams, *Special Publication*, 118 (1990) 259-280.
- [22] C. ASTM, 1609: Standard Test Method for Flexural Performance of Fiber-Reinforced Concrete (Using

- [36] A.M. Neville, Creep of plain and structural concrete, (1983).
- [37] M. Mazloom, Estimating long-term creep and shrinkage of high-strength concrete, Cement and Concrete Composites, 30(4) (2008) 316-326.
- beams, Structural Journal, 89(2) (1992) 176-184.
- [35] S.-W. Shin, J.-G. Oh, S. Ghosh, Shear behavior of laboratory-sized high-strength concrete beams reinforced with bars and steel fibers, Special Publication, 142 (1994) 181-200.

برای ارجاع به این مقاله از عبارت زیر استفاده کنید:

S. Maghsoodian, F. Jandaghi Alaei, M. Nematzadeh, Shear Behavior of Reinforced Concrete Beams with Hybrid Crimped-Hooked End Steel Fibers-Modified Polypropylene Fibers ,Amirkabir J. Civil Eng., 53(4) (2021): 1425-1442.

DOI: [10.22060/ceej.2019.16954.6404](https://doi.org/10.22060/ceej.2019.16954.6404)

